

Estudo das propriedades dos condensadores

Gonalo Quinta n^o 65680, Fernando Rodrigues n^o66326, Teresa Jorge n^o65722 e Vera Patr cio n^o65726

Laborat rio de Complementos de Electromagnetismo e Termodin mica
Mestrado Integrado em Engenharia F sica Tecnol gica 2009/2010
Instituto Superior T cnico (IST)

(Dated: 25 de Maio de 2010)

Abstract

I. INTRODU  O

Dois corpos carregados exercem foras um sobre o outro que dependem das suas cargas, da dist ncia entre ambos e do meio em que se encontram. Se os corpos tiverem o mesmo tipo de carga essa fora   repulsiva e se as cargas forem opostas a fora   atractiva. Uma abstrac  o que se construiu para quantificar a influ ncia que uma carga exerce sobre outra no espao que a rodeia foi o campo el ctrico, que representa a fora que uma carga unit ria positiva sentiria se estivesse numa dada posi o. Outra grandeza associada aos campos el ctricos   o potencial el ctrico que representa o trabalho gasto para transportar uma carga unit ria entre dois pontos em determinado campo el ctrico. Aos corpos que t m a capacidade de ter carga chamamos condutores. Quando em equil brio, a carga distribui-se uniformemente pela sua superf cie de modo a minimizar a sua energia. O potencial (V) criado num condutor relaciona-se proporcionalmente com a carga (Q) que tem armazenada, atrav s de uma grandeza chamada capacidade: $C = \frac{Q}{V}$

Um condutor isolado tem uma certa capacidade associada que depende apenas da sua geometria e do meio em que est  inserido. Quando um condutor n o est  isolado, quando   influenciado por outros condutores, a carga que armazena dependendo n o s  da seu potencial mas t m tamb m do potencial dos condutores vizinhos. A depend ncia do seu pr prio potencial   dada pela capacidade pr pria de um condutor (que corresponde   capacidade do condutor quando est  isolado) enquanto que a depend ncia do potencial exterior   dado pela capacidade m tua.

Existem outros materiais que n o t m a capacidade de ter carga verdadeira chamados diel ctricos. Quando os diel ctricos s o sujeitos a uma diferena de potencial surgem dipolos no interior do mesmo, e dependendo das caracter sticas do material pode surgir uma densidade de carga volum trica ou/e superficial. Como o diel ctrico n o suporta carga, funciona como um bloqueador de corrente. Um condensador   formado por um meio diel ctrico entre dois condutores. Num condensador plano de  rea S , com uma dist ncia d entre as armaduras, com um meio certo meio dielectrico (de constante ϵ) a capacidade   dada por: $C = \frac{\epsilon S}{d}$

A constante diel ctrica   uma medida da facilidade de polariza o do campo. Quanto maior a constante diel ctrica mais polariz vel   o campo. Isto  , para uma mesma carga menor o campo el ctrico por ela criado.

O meio diel ctrico apresenta um comportamentos diferente quando   sujeito a correntes vari veis. A constante diel ctrica ϵ passa a depender da frequ ncia $\epsilon(\omega)$ pois a orienta o dos dipolos depende desta. Assim podemos considerar que a capacidade do condensador plano tem tamb m uma depend ncia com a frequ ncia. Podendo ser escrita como $C = (C_R + jC_I)$. A parte imagin ria est  relacionada com as perdas de energia no condensador pois ao vibrarem as part culas constituintes do condensador dissipam energia, logo esta pode ser considerada como uma resist ncia em paralelo com o condensador real.

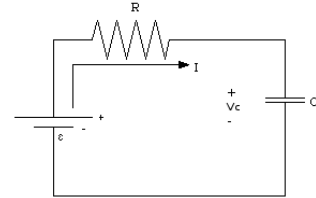


Figura 1. Circuito RC

O estudo das propriedades dos condensadores ser  feito a partir de um circuito RC, esquematizado na figura 1. A equa o que descreve o circuito   dada atrav s da lei das malhas:

$$\epsilon_a = RI + V_c = RC \frac{dV_c}{dt} + V_c \quad (1)$$

Atendendo que $I = \frac{dQ}{dt} = C \frac{dV_c}{dt}$

Quando o gerador de corrente cont nua se encontra em funcionamento, retira carga de uma das armaduras do condensador para a outra, criando uma diferena de potencial entre armaduras. Passado um certo tempo, a diferena de potencial entre armaduras deixar  de aumentar, ficando o condensador carregado. Para descarregar o condensador, o gerador   substituido por um curto-circuito e a carga acumulada numa das armaduras vai fluir pelo sistema para a outra. Neste circuito   necess ria uma resist ncia para dissipar a pot ncia armazenada no condensador e evitar correntes muito elevadas. A tens o aos terminais do condensador em cada momento do processo de carga e descarga   dada pela solu o da equa o (3). Note-se no entanto que as condi es iniciais s o diferentes, pelo que as equa es t m tamb m o ser o.

Assim, para a carga tem-se: $V_c(t) = V_{c0} e^{-\frac{t}{RC}} + \epsilon_a$

E para a descarga: $V_c(t) = V_{c0} e^{-\frac{t}{RC}} + 0$

O parâmetro $\frac{-1}{RC}$ é chamado de tempo de relaxação.

A energia envolvida nestes processos obtém-se integrando a potência de cada elemento ao longo do tempo. Temos assim, respectivamente, a energia fornecida pelo gerador e dissipada na resistência:

$$W_e = \int \varepsilon_a I dt = \varepsilon_a^2 C \quad (2)$$

$$W_r = \int R^2 I dt = \frac{1}{2} C \varepsilon_a^2 \quad (3)$$

A energia armazenada no condensador é dada por:

$$W_c = \frac{1}{2} C V c^2 \quad (4)$$

Durante a carga de um condensador metade da energia gasta pelo gerador é dissipada na resistência a outra fica acumulada no condensador.

II. EXPERIÊNCIA REALIZADA

Processo de carga e descarga do condensador

O esquema eléctrico utilizado foi o circuito RC descrito acima. Este encontra-se ligado a um equipamento informático que mede a cada instante a tensão aos terminais do condensador. Primeiramente foi analisado o processo de carga do condensador, obtendo-se nessas medições um gráfico do tipo que se encontra na figura 2. Esses dados são linearizados obtendo-se um gráfico do género do da figura 3, criando-se para isso uma nova variável v de modo aos dados se ajustarem à seguinte equação, derivada da equação (4):

$$\ln(E - Vc) = \ln(v) = \ln(E) - \frac{t}{RC} \quad (5)$$

E - tensão aplicada (aproximada pela tensão final no condensador)

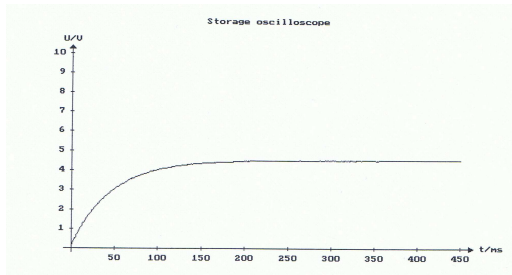


Figura 2. Gráfico típico de $v(t)$ para o processo de carga

Este processo é repetido para resistências de 20k Ω , 30k Ω , 40k Ω e 50k Ω . Um valor de C pode ser calculado ajustando os declives obtidos em função da resistência:

$$\frac{1}{RC} = \frac{1}{m} \Leftrightarrow m = C_{estimado} R \quad (6)$$

Esta resistência corresponde à resistência total do circuito, ou seja a resistência aplicada (R_a) em série com

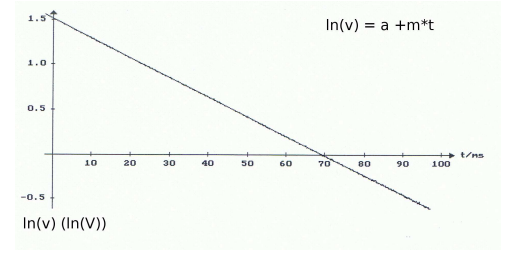


Figura 3. Gráfico típico de $\ln(v(t))$ para o processo de carga

a resistência do voltímetro (R_v) que procede às medições. Esta resistência total é calculada sabendo que é a soma das duas resistências em paralelo:

$$R = \frac{R_a R_v}{R_a + R_v} \quad (7)$$

A resistência R_v é calculada aplicando o teorema de Thévenin aos terminais do condensador, obtendo-se a expressão:

$$R_v = \frac{-E' R_a}{E' - E} \quad (8)$$

E' - tensão no condensador; E - tensão aplicada

Para se efectuar os cálculos das energias são calculados os integrais das curvas $v(t)$ e $v(t)^2$. Na figura 4 encontra-se um gráfico tipo para esta última grandeza.

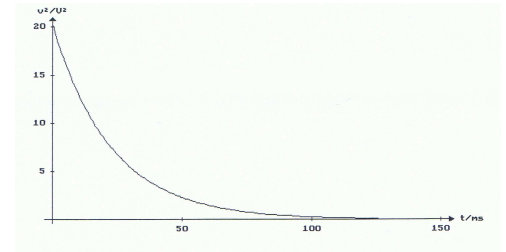


Figura 4. Gráfico típico de $v^2(t)$ para o processo de carga

O processo de descarga é estudado de forma igual, fazendo-se o ajuste dos dados à equação (5) linearizada:

$$\ln(V_c(t)) = \ln(V_{c0}) - \frac{t}{RC} \quad (9)$$

Neste caso não é necessário calcular o integral de V_c , valor que se usava para calcular a potência fornecida pela fonte de tensão, que no processo de descarga é substituída por um curto circuito. O gráfico tipo para a descarga encontra-se na figura 5.

Determinação da constante dieléctrica

Na segunda parte da experiência estuda-se o comportamento de um condensador em regime forçado. O circuito é o da figura 2. Uma das equações que descreve o circuito é:

$$i = \frac{U_2}{R_{eq}} + c \frac{dU_2}{dt} = \frac{U_1 - U_2}{R_1} \quad (10)$$

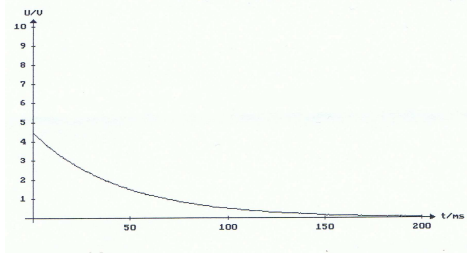


Figura 5. Gráfico típico de $V_c(t)$ para o processo de descarga

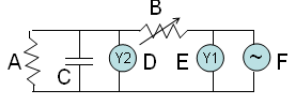


Figura 6. Esquema de montagem - A - Resistência; B - R1(variável) C - Condensador; D - U2; E - U1; F - Fonte

Por análise complexa podemos concluir que a capacidade do condensador é:

$$C = \frac{1}{\omega R_1} \sqrt{\left(\frac{U_{1ef}}{U_{2ef}}\right)^2 - \left(1 + \frac{R_1}{R_{eq}}\right)^2} \quad (11)$$

Usando a relação (2) é possível saber a constante dielétrica do meio. Pela análise das potências dissipadas em cada resistência obtem-se uma relação para a determinação da resistência equivalente:

$$R_{eq} = \frac{U_{2ef}^2}{\langle U_1 \cdot U_2 \rangle - U_{2ef}^2} R_1 \quad (12)$$

Os valores de U_{2ef} , U_{1ef} e $\langle U_1 \cdot U_2 \rangle$ são retirados de um programa do osciloscópio. A resistência variável R_1 é medida com um ohmímetro enquanto ainda está quente da passagem da corrente. O uso do osciloscópio introduz um erro pois a ponta de medida tem um condensador e uma resistência em paralelo. $R_{ponta} = 1M\Omega$, $C_{ponta} = 120pF$

$$R_{condensador} = -\frac{R_{ponta} R_{eq}}{R_{eq} - R_{ponta}} \quad (13)$$

$$C_{condensador} = C - C_{ponta} \quad (14)$$

III. RESULTADOS

Processo de carga e descarga do condensador

Obtiveram-se gráficos semelhantes aos da figuras 3, 4, 5 e 6 para ambos os processos. Os dados registados para os diferentes ensaios durante a carga encontram-se na Tabela I e para a descarga na Tabela II.

Determinação da constante dielectrica

IV. ANÁLISE DOS RESULTADOS

Processo de carga e descarga do condensador

Tabela I. Dados do processo de carga do condensador

$R_a(\Omega)^a$	$V_{cf}(V)$	$\frac{1}{m}(m^{-1}s^{-1})^b$	$a(\ln(V))$	$\int v(Vms)^c$	$\int v^2(V^2ms)$
10000	4,9	-0,1010	1,61	48,9	123
20000	4,81	-0,0510	1,57	93,4	226
30000	4,71	-0,0353	1,56	125	284
40000	4,63	-0,0267	1,53	167	369
50000	4,55	-0,0217	1,5	205	446

^a erro: 5%

^b os ensaios foram repetidos para diferentes limites da escala temporal, não se verificando desvios significativos

^c para diminuir os erros, os integrais foram todos calculados até ao máximo da escala temporal

Tabela II. Dados do processo de descarga do condensador

$R_a(\Omega)$	$V_{ci}(V)$	$\frac{1}{m}(m^{-1}s^{-1})$	$a(\ln(V))$	$\int v^2(V^2ms)$
10000	4,9	-0,1020	1,62	125
20000	4,81	-0,0520	1,57	224
30000	4,71	-0,0352	1,55	316
40000	4,56	-0,0269	1,52	386
50000	4,49	-0,0219	1,5	459

Tabela III. Dados para determinação da constante dielétrica

$f(Hz)^a$	$U_{ef1}(V)^b$	$U_{ef2}(V)^c$	$< U_{ef1} * U_{ef2} >$	erro	$R_1(\Omega)$	$e_{R1}(\Omega)$
2000	5,37	2,67	7,32	0,080	27200	100
5000	5,36	2,67	7,19	0,080	10850	100
10000	5,34	2,66	7,13	0,080	5442	10
20000	5,31	2,65	7,14	0,0796	2695	10
50000	5,20	2,59	6,88	0,0779	1083	10
100000	5,04	2,53	6,58	0,0757	540	1
200000	4,73	2,37	6,75	0,0710	256	1
500000	3,95	1,96	4,09	0,0591	106	1
1000000	2,98	1,46	2,21	0,0444	49	0,1

^a erro: 5%

^b erro: 0,01 V

^c erro: 0,01 V

Com os dados da Tabela II, e para uma tensão aplicada de 4,99 (antes de se iniciar o processo de descarga), obtiveram-se vários valores de R_v aplicando a equação (4), cuja média é 491343,56 Ω . Para o cálculo de R foi usado este valor.

Tabela IV. Cálculo de R_v e R

$R_a(\Omega)$	$R_v(\Omega)$	$R(\Omega)^a$
10000	544444,44	9800,54
20000	534444,44	19217,75
30000	504642,86	28273,69
40000	424186,05	36988,77
50000	449000	45381,86

^a erros!!!!!!!

As energias calculadas para os dois casos encontram-se nas Tabelas IV e V.

Foi feito o ajuste da função (2) - figura 6 - sendo o valor de C encontrado de $(1,008 \pm 0,001)E-3$ mF.

Determinação da constante dielectrica

Os valores das resistências e condensadores calculados encontram-se, respectivamente, nas tabelas VII e VIII. O

Tabela V. Energias do processo de carga do condensador

$R_a(\Omega)$	$W_e(J)$	$W_r(J)$	$W_c(J)$	$W_r + W_c(J)$
10000	2,4449E-05	1,2550E-05	1,2005E-05	2,4555E-05
20000	2,3377E-05	1,1760E-05	1,1568E-05	2,3328E-05
30000	2,0823E-05	1,0045E-05	1,1092E-05	2,1137E-05
40000	2,0904E-05	9,9760E-06	1,0718E-05	2,0694E-05
50000	2,0553E-05	9,8277E-06	1,0351E-05	2,0179E-05

^a erro: 5%

Tabela VI. Energias do processo de descarga do condensador

$R_a(\Omega)$	$W_r(J)$	$W_c(J)$
10000	1,2754E-05	1,2005E-05
20000	1,1656E-05	1,1568E-02
30000	1,1176E-05	1,1092E-02
40000	1,0436E-05	1,0397E-02
50000	1,0114E-05	1,0080E-02

valor médio de C do condensador é de 5,14E-09(F). Os valores para a constante dielectrica calculados a partir desses dados encontram-se na Tabela IX.

Tabela VII. Resistências calculadas

f (Hz) ^a	$R_{eq}(\Omega)$	$e_{Req}(\Omega)$	$R_{condensador}(\Omega)$	$e_{Rcondensador}(\Omega)$
2000	1,04E+06	1,6E+05	-2,48E+07	9,3E+07
5000	1,33E+06	6,4E+05	-4,02E+06	5,8E+06
10000	7,64E+05	4,1E+05	3,24E+06	7,4E+06
20000	1,61E+05	3,8E+04	1,92E+05	5,5E+04
50000	4,23E+04	7,2E+03	4,42E+04	7,8E+03
100000	1,97E+04	3,0E+03	2,01E+04	3,1E+03
200000	1,23E+03	4,0E+01	1,24E+03	4,0E+01
500000	1,62E+03	1,6E+02	1,62E+03	1,6E+02
1000000	1,31E+03	2,7E+02	1,32E+03	2,7E+02

Tabela VIII. capacidades calculadas

f (Hz) ^a	$C_{eq}(F)$	$e_{C_{eq}}(F)$	$C(F)$	$e_C(F)$
2000	5,06E-09	2,63E-10	4,94E-09	2,63E-10
5000	5,09E-09	2,64E-10	4,97E-09	2,64E-10
10000	5,08E-09	2,63E-10	4,96E-09	2,63E-10
20000	5,10E-09	2,64E-10	4,98E-09	2,64E-10
50000	5,07E-09	2,64E-10	4,95E-09	2,64E-10
100000	5,03E-09	2,62E-10	4,91E-09	2,62E-10
200000	4,96E-09	2,69E-10	4,84E-09	2,69E-10
500000	5,14E-09	2,73E-10	5,02E-09	2,73E-10
1000000	5,71E-09	3,05E-10	5,59E-09	3,05E-10

^a erro: 5%

V. CONCLUSÃO E CRÍTICAS

- [1] *Introdução à Física* by J. D. Deus, *et al.*, McGraw-Hill, 2000

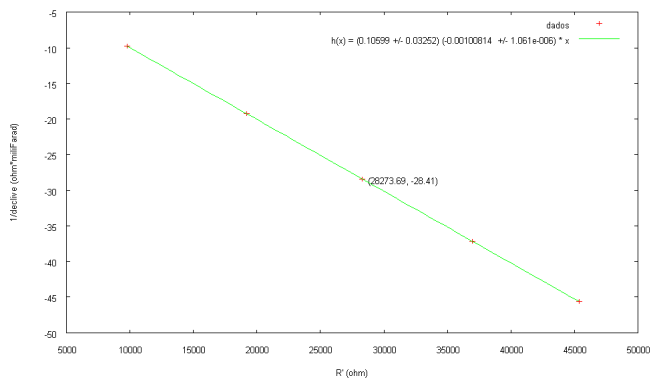


Figura 7. Ajuste do declive em função de R_a para cálculo de C

Tabela IX. Constante dielectrica

$Re\epsilon$	$\epsilon_{Re\epsilon}$	ϵ_{Ceq}	$Im\epsilon$	$\epsilon_{Im\epsilon}()$
9,37E-12	5,8E-13	-6,07E-15	2,23E-14	
9,43E-12	5,8E-13	-1,50E-14	2,09E-14	
9,40E-12	5,8E-13	9,32E-15	2,19E-14	
9,44E-12	5,8E-13	7,84E-14	2,69E-14	
9,39E-12	5,8E-13	1,36E-13	3,21E-14	
9,31E-12	5,8E-13	1,50E-13	3,22E-14	
9,17E-12	5,9E-13	1,22E-12	1,12E-13	
9,51E-12	6,0E-13	3,72E-13	5,87E-14	
1,06E-11	7E-13	2,29E-13	6,10E-14	

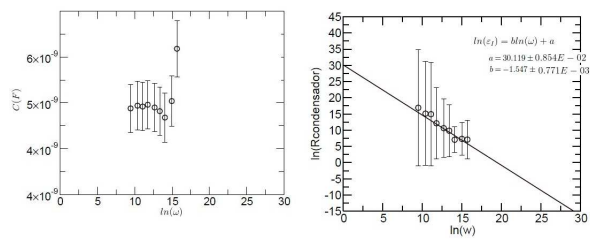


Figura 8. Esquerda: capacidade em função de $\ln(w)$; Direita: logaritmo da resistência função da frequência

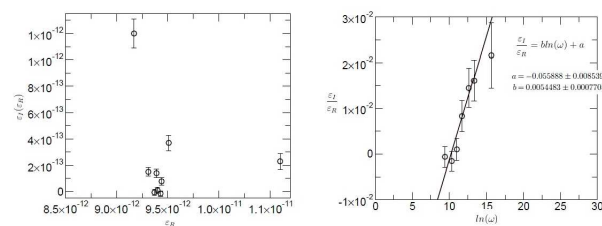


Figura 9. Esquerda: $Im\epsilon$ em função de $Re\epsilon$; Direita: quociente entre $Im\epsilon$ com $Re\epsilon$ em função de $\ln(frequência)$

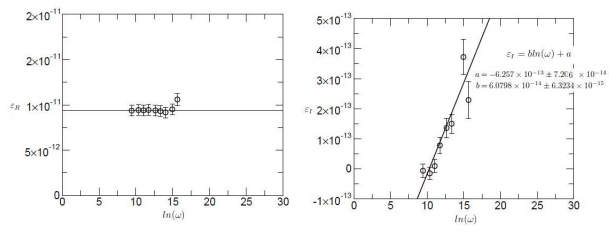


Figura 10. Esquerda: $Re\epsilon$ em função de $\ln(\text{frequencia})$; Direita: $Im\epsilon$ em função de $\ln(\text{frequencia})$